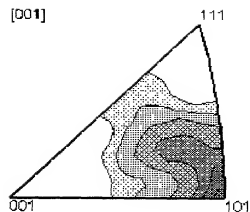


1 ppm

{101} orientation ratio 53%

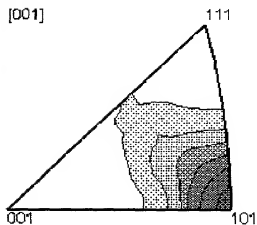
Fig. 1A



3 ppm

{101} orientation ratio 44%

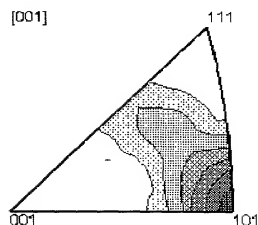
Fig. 1B



10 ppm

{101} orientation ratio 30%

Fig. 1C



30 ppm

{101} orientation ratio 19%

Fig. 1D

Fig. 2

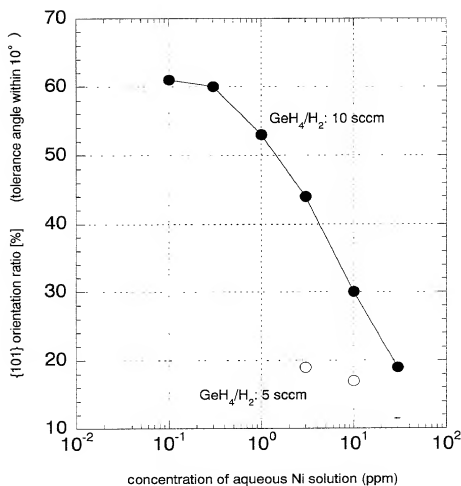


Fig. 3

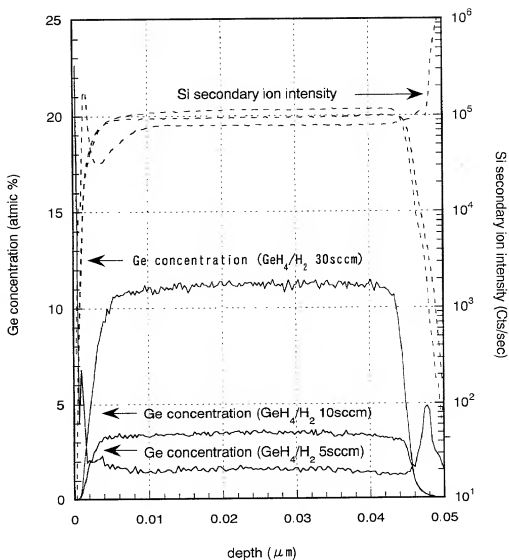


Fig. 4

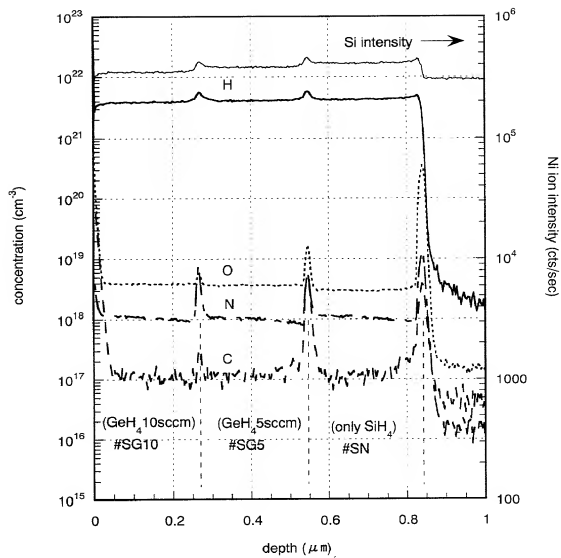


Fig. 5

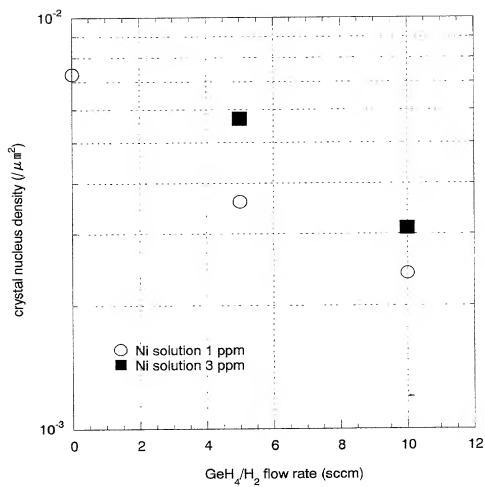


Fig. 6

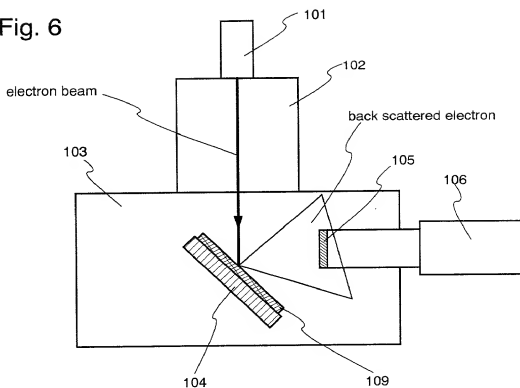


Fig. 7

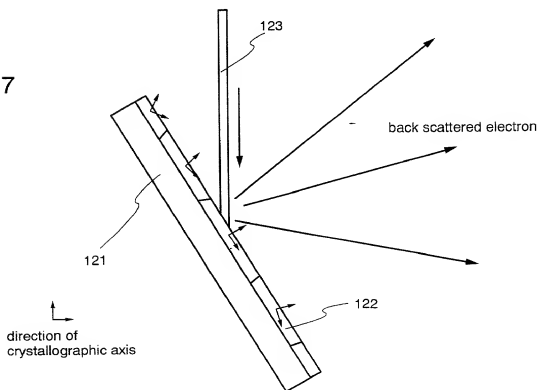


Fig. 8A

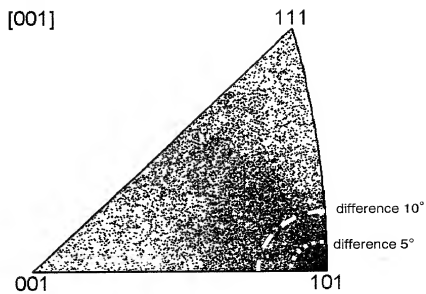


Fig. 8B

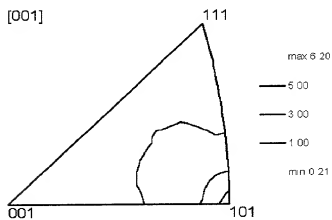






Fig. 11A

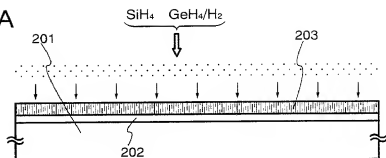


Fig. 11B

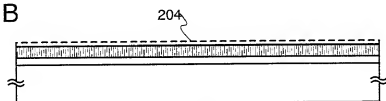


Fig. 11C

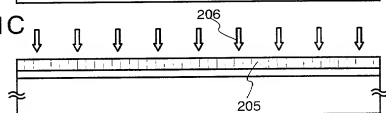


Fig. 11D

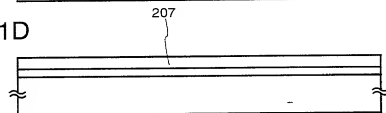


Fig. 12A-a

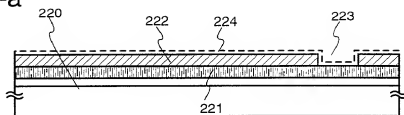


Fig. 12A-b

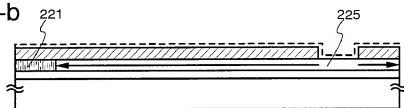


Fig. 12A-c

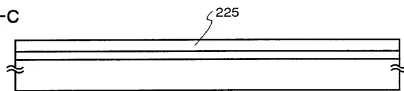


Fig. 12B-a

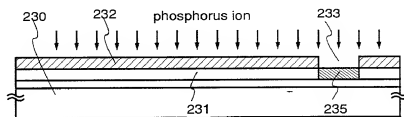


Fig. 12B-b

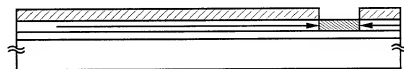
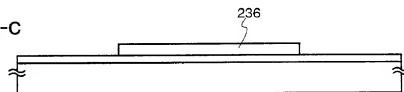


Fig. 12B-c



104190-65008860

Fig. 13A

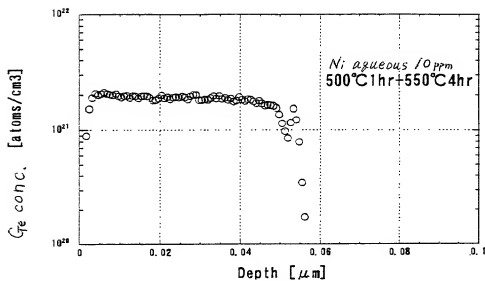


Fig. 13B

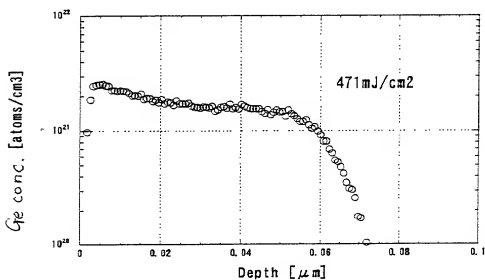
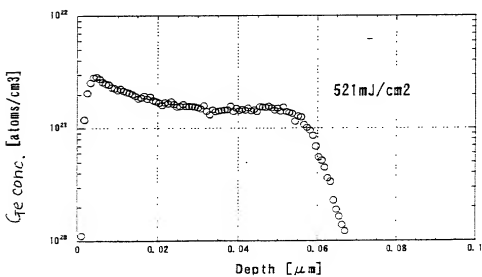


Fig. 13C



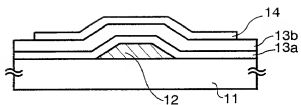


Fig. 14A

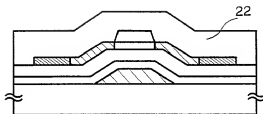


Fig. 14E

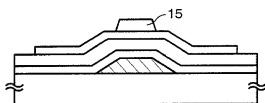
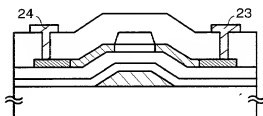


Fig. 14B



n-channel TFT

Fig. 14F

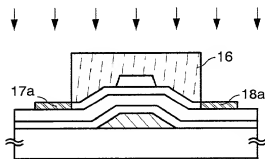


Fig. 14C

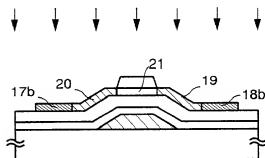


Fig. 14D

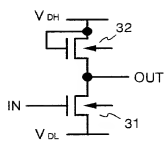


Fig. 15A

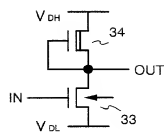


Fig. 15B

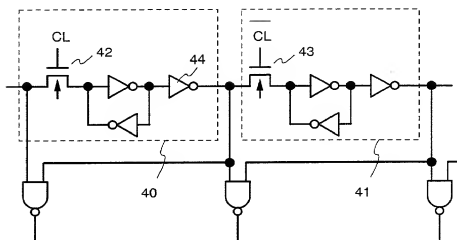


Fig. 16A

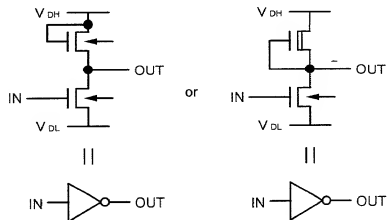


Fig. 16B

Fig.17A

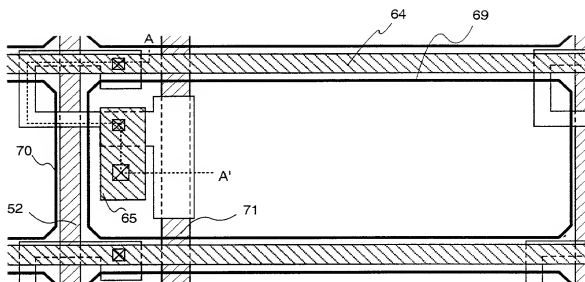


Fig.17B

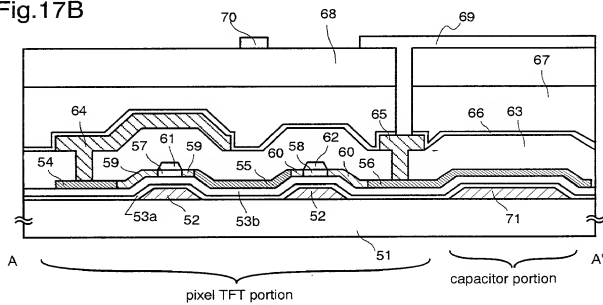


Fig. 18

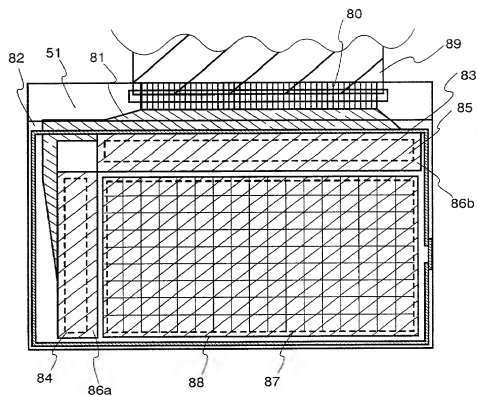


Fig. 19

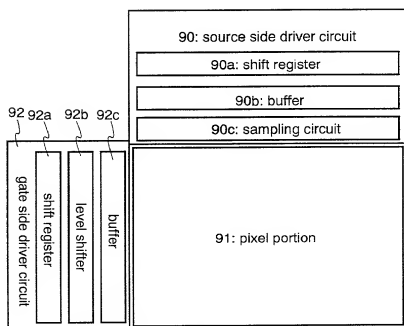




Fig. 20

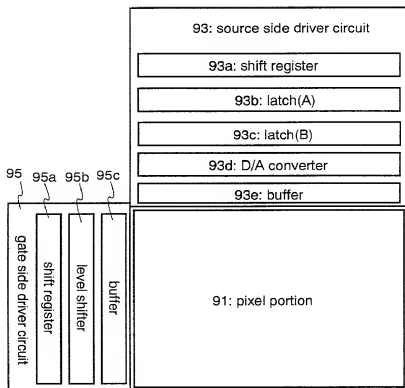


Fig. 21A

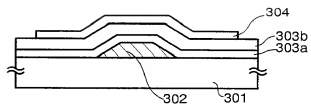


Fig. 21B

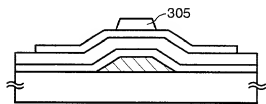


Fig. 21C

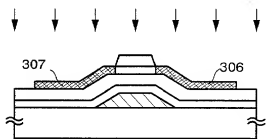


Fig. 21D

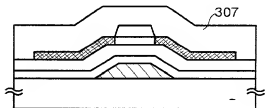
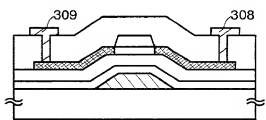


Fig. 21E



p-channel TFT

Fig. 22A

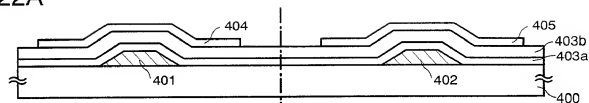


Fig. 22B

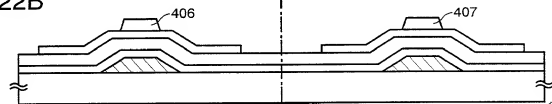


Fig. 22C

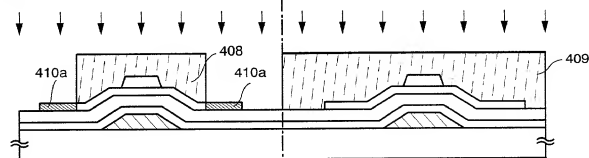


Fig. 22D

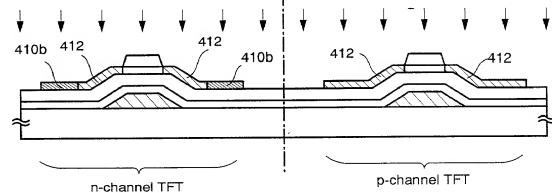


Fig. 23A

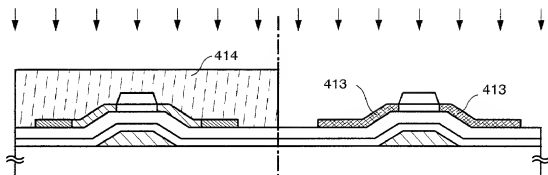


Fig. 23B

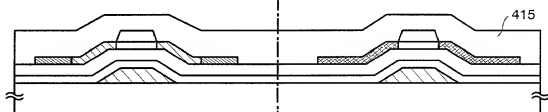
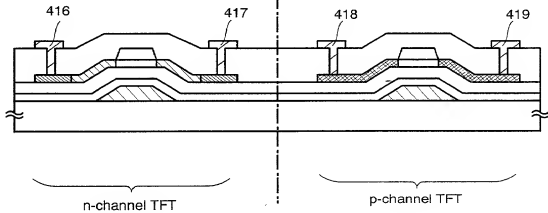


Fig. 23C

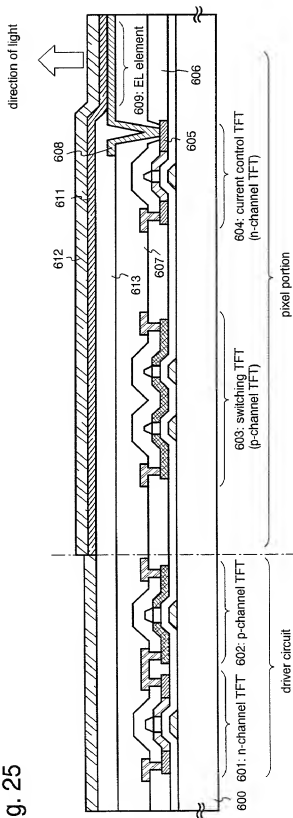


[illegible][illegible]

0000000000



Fig. 25



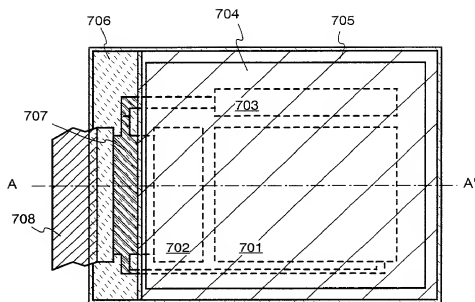


Fig. 26A

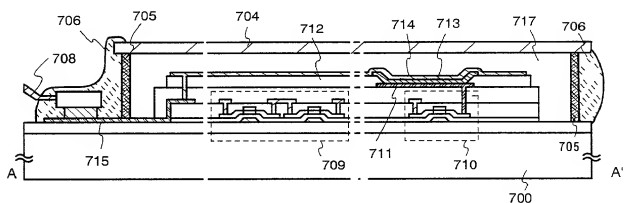


Fig. 26B





Fig. 28

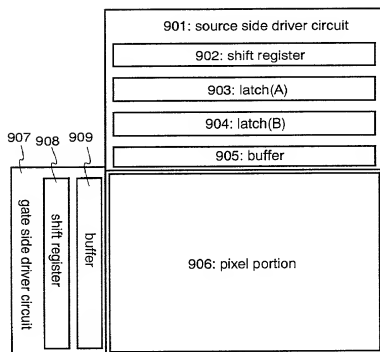


Fig. 29

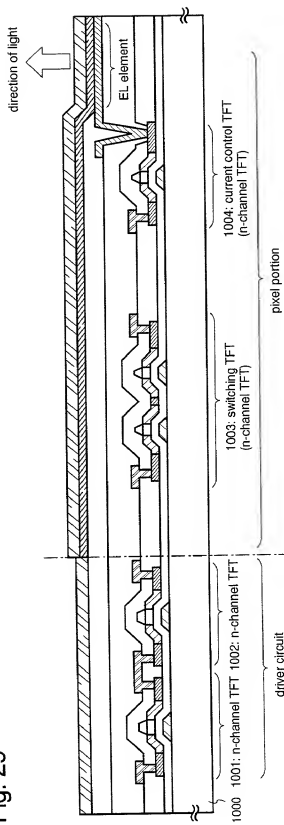




Fig. 32

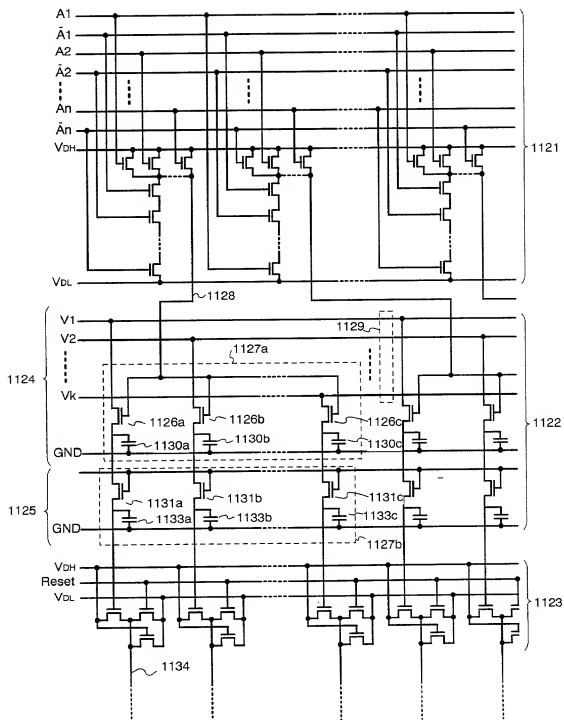


Fig. 33

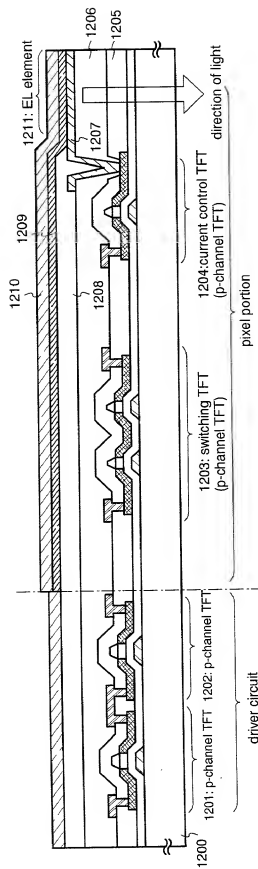


Fig. 34

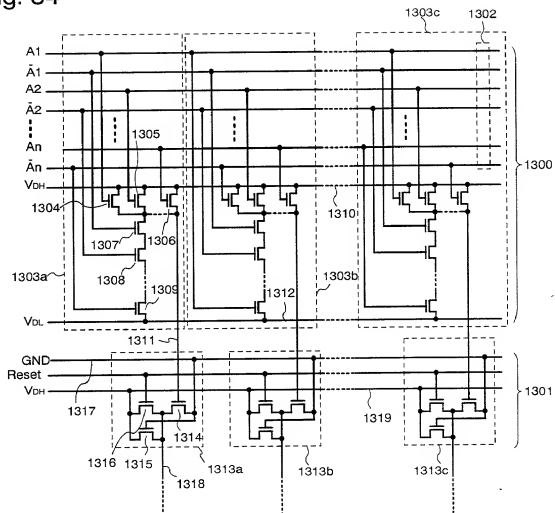


Fig. 35

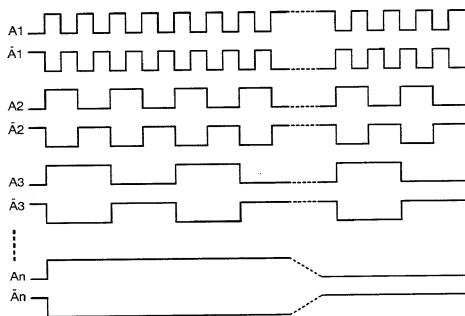


Fig. 36

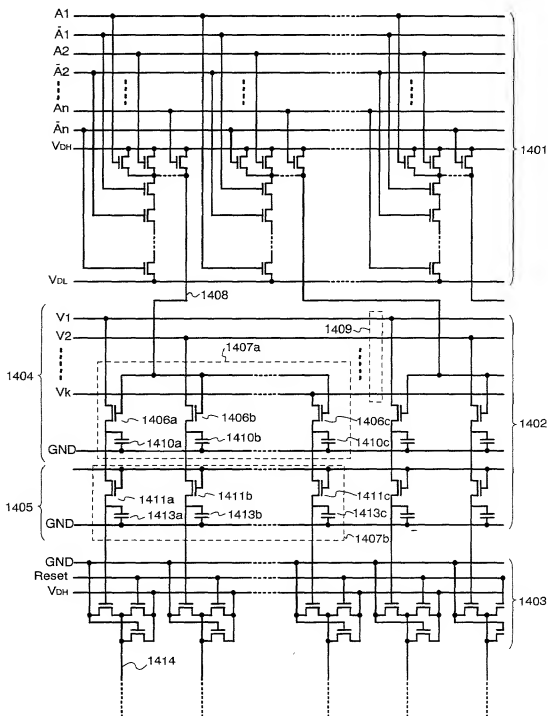


Fig. 37A

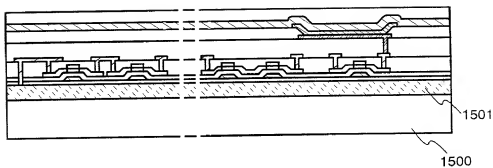


Fig. 37B

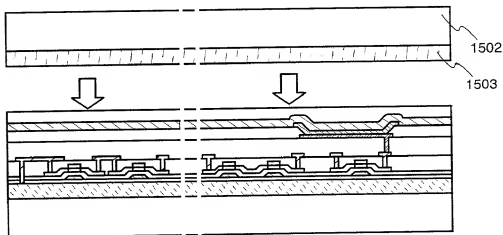


Fig. 37C

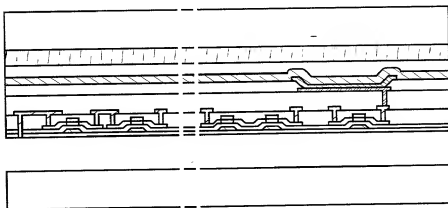




Fig. 38A

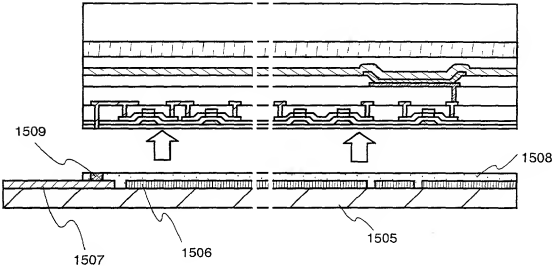
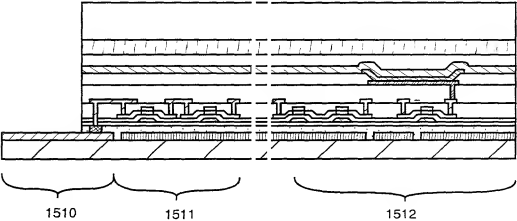


Fig. 38B



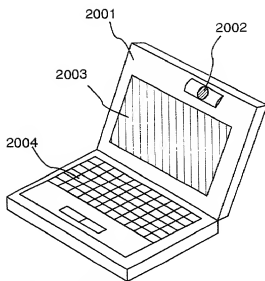


Fig. 39A

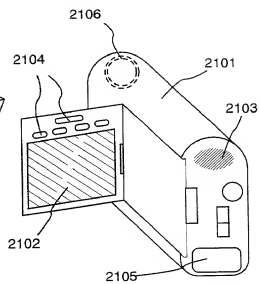


Fig. 39B

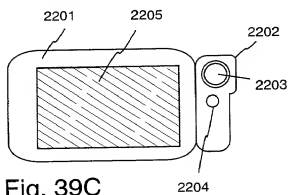


Fig. 39C

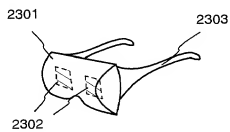


Fig. 39D

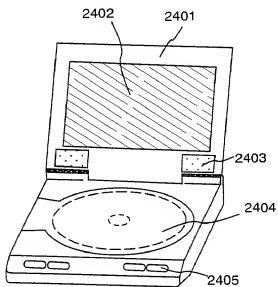


Fig. 39E

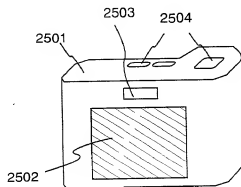


Fig. 39F

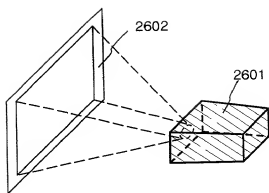


Fig. 40A

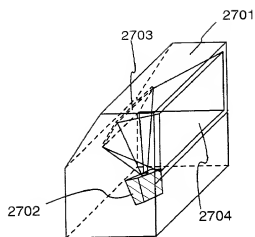


Fig. 40B

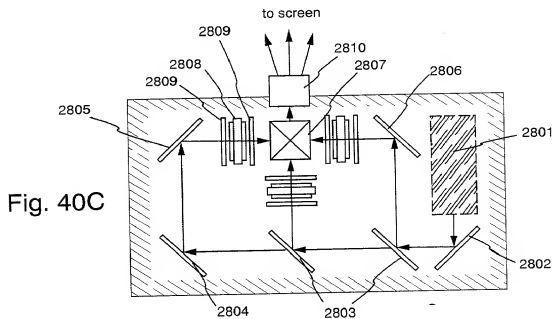


Fig. 40C

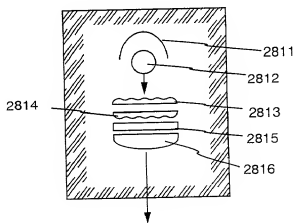


Fig. 40D



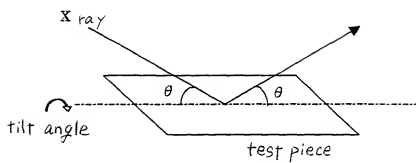


Fig. 42

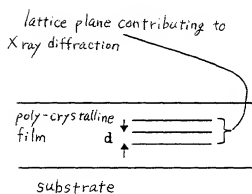


Fig. 43A

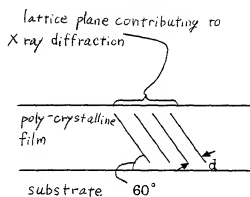


Fig. 43B

Fig. 44

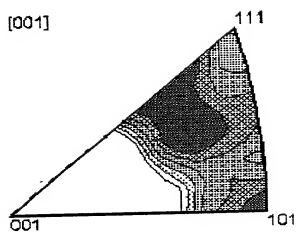


Fig. 45A

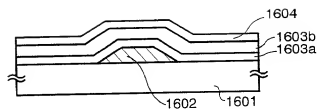


Fig. 45B

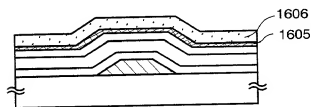


Fig. 45C

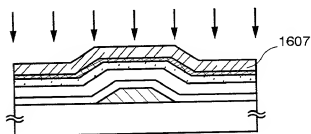


Fig. 45D

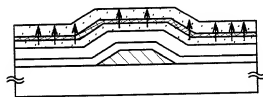


Fig. 45E

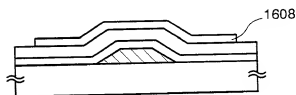


Fig. 46

